

上水中의 THMs 및 前驅 物質 除去方案研究

廢棄物分析科

崔誠文·錢大榮·崔圭相·裴基哲

A Study on the THMs and Removal of their precursors from drinking Water

Industrial waste Analysis Division.

S. M. Choi, D. Y. Jeon, K. S. Choi, K. C. Bae

Abstract

This study was carried out to determine the formation and absorption of THMs in chlorinated drinking water.

The subject of investigation of THMs formation were raw water, treated water and tap water at Duk San water treatment plant and humic substances.

The absorbed removal of THMs measured on the activated carbon and activated carbon attached bacteria using the sequential Fluidized Bed.

The result were as follows.

1. The mean value of the formation of THMs were N.D, 10.12 $\mu\text{g}/\ell$, 13.10 $\mu\text{g}/\ell$ in raw water, treated water and tapwater respectively.
2. The amount of the formation of THMs increased when temperature, pH the amount of chlorine and contact time increased.
3. The formation of THMs of linear regression equation was $Y=1.74x-4.50(r=0.88)$
4. Adsorption coefficient β of activated carbon and activated carbon attached bacteria were 0.35, 0.32 respectively and constant K were 0.095, 0.18 respectively.
5. The mean removal rate of THMs on activated carbon and activated carbon attached bacteria were 88.1%, 91.1% respectively.

I. 緒論

飲用水는 化學的으로나 細菌學的으로 安全하게 供給되어야 한다. 그러나 各種下水 및 廢水가 수계로 多量 排出되어 上水源水의 汚染이 심각해 지면서 飲用水의 安定性에 對한 關心이 높아져 가고 있다.

물은 再生될 수 있는 自然資源이지만 用途에 맞도록 잘 淨水하고 管理하여야만 한다. 그러므로 모든 家庭 및 產業施設을 彻底히 管理하여 汚·下水 및 廢水排出을 抑制하여야 하고 效果的인 啓蒙과 水資源에 對한 持續的인 對策이 要求된다.

특히 飲用水 中의 腐蝕物(humic substances)은 飲用水 供給은 물론 水處理에서도 주요한 問題가 된다. 理由는 多量의 色度를 起起할 뿐만 아니라 鹽素 消毒劑와 作用으로 因해 有害한 微量有機汚染物質을 生成시키기 때문이다.

腐蝕物은 生物, 特히 植物(包括的이지는 않지만)이 죽어서 分解될 때 生成된다.(Josephson, 1982) 그러므로 많은 腐蝕物은 土壤에서 生成되고 결국 호수, 강과 바다에서 發見된다.

腐蝕物은 河川水의 有機物質中 40~50%를 차지하고 酸과 알카리에 對한 韶解度 및 分子量의 差異에 따라 humic acid, humatomelanic acid 및 fulvic acid 等으로 分類된다. humic acid는 腐蝕物의 酸性 部分으로 염기에 溶存되나 酸에는 沈澱하며 fulvic acids는 염기와의 酸性에 溶解되는 腐蝕物의 酸性分子들이다.(Trussell과 umphres, 1978) 汚染된 上水源水中의 腐蝕物은 trihalomethanes(以下 THMs라 함)의 前驅物質(precursors)로 알려져 있다.

水因性 傳染病을 預防 하기 위해 上水處理 課程에서 가장 널리 使用되는 消毒劑는 鹽素(chlorine : Cl₂)이지만 이러한 할로겐(鹽素 또는 브롬, 불소)은 上水源水가 汚染되면서 여러 汚染物質 및 腐蝕物과 反應하여 Chloroform(CHCl₃)을 包含한 다른 THMs類 等 有害한 수많은 鹽素 化合物을 生成시키므로 이에 對한 減少 方案이 研究되어 왔다. 이에 本 研究院에서는 전구物質로 作用하는 腐蝕物의 添加에 따른 THMs生成, 活性炭 吸着劑에 依한 THMs除去, 박테리아 附着 活性炭 吸着劑에 依한 THMs除去 및 吸着劑의 吸着能 效果, 吸着計數 및 吸着除去物을 算定하고 比較分析하여 完全한 飲用水를 供給하기 위한 基礎 資料를 提供하고자 本 研究를 實施하였다.

II. 研究方法 및 裝置

1. 調査對象

慶南 金海郡 大東面 죽산리에 所在하고 있는 德山淨水源水, 處理水 및 家庭水道水를 對象으로 하였다.

2. 實驗對象

가. 吸着劑

吸着劑는 粒床炭(granular activated carbon : 日本 OSAKA藥理化學 製品)을 使用하였다. 입상탄 粒子는 크기가 均一하도록 网(SIEVE : 25×50mesh)로 거른 後(直徑 : 0.297~0.71mm) KNO_3 와 HNO_3 를 混合한 세척수 용액 및 중류수를 利用하여 20°C에서 3回 초음파 세척기를 利用하여 미세한 物質과 不純物을 除去시켰다. 세척된 입상탄은 103~105°C에서 24時間 동안 烘乾이 될때까지 乾燥시킨 후 대시케이타에 保管하고 使用하였다.

나. 腐蝕物

THM의 전구물질인 腐蝕物 원액은 humic acid시약(Fluka 製品, Switzerland)을 NaOH(pH 12)용액에 다음과 같이 溶解시켜 製造하였다. 중류수에 溶解된 腐蝕物은 하루밤동안 實溫에서 고반시킨후 여과하여 不溶性 物質을 除去하고 2N HCl용액으로 중성(pH7)이 되도록 調整하였다. 腐蝕物 添加 試料水는 一定量의 이농交換水를 오존 發生機로 15分 동안 20ℓ/min 速度로 殺菌處理한 후 腐蝕物과 無機영양소(Table 1)을 添加하여 製造하였다.

Table 1. Composition of trace salts in water added with humic acid

compounds	concentration(mg/ℓ)
phosphate buffer	
KH_2PO_4	8.5
K_2HPO_4	21.75
Na_2HPO_4	33.4
NH_4Cl	1.7
$\text{MgSO}_4 \cdot 7\text{H}_2\text{O}$	22.5
CaCl_2	27.5
$\text{FeCl}_3 \cdot 6\text{H}_2\text{O}$	0.25

3. 實驗方法 및 裝置

가. 박테리아 附着 活性炭의 製造

(1) 박테리아源 및 酸化培養

박테리아源은 德 산정수장 流入源水의 浸出物을 採取하여 하루밤동안 정치시킨 後 상동수를 使用하였다. 酸化培養은 實溫($20 \pm 1^{\circ}\text{C}$)에서 好氣的으로 培養시킨 後 3ℓ容器를 利用하여 glucose와 無機영양소를 利用하여 腐蝕物 添加 試料水로 치환하는 方法에 의거 50mg/ℓ까지 酵化시켰다. 이때 培養槽는 光合成 微生物(algae)의 增殖을 抑制시키기 為하여 aluminium-foil로 빛을 遮斷하였다.

(2) 박테리아 附着

박테리아 附着은 一定量의 酵化 培養되고 세척된 박테리아를 미리 把握된 增殖曲線에 의거 대수 增殖機 동안 一定量을 活性炭 表面에 混合하여 얇게 附着시켰다. 이때 부착된 박테리아의量은 67mg viomass/g activated carbon 이었다.

나. 非連續 實驗

腐蝕物 添加 試料水의 平衡 吸着 等溫性을 決定하기 為하여 非連續 實驗이 實施되었다. 腐蝕物 添加 試料水 각각 1ℓ에 活性炭 및 박테리아 附着 活性炭을 각각 넣고 Jarstester(Model : YJ-6)를 이용하여 10R.P.M.으로 교반하면서 接觸時間 變化에 따라 腐蝕物 濃度를 調査하였다. 이때 다음 實驗條件가 使用되었다.

- (1) 腐蝕物 濃度 : 10mg/ℓ
- (2) 接觸時間 : 15日
- (3) pH : 7.2 ± 0.1
- (4) 水溫 : 24 ± 0.1°C

다. 連續實驗

(1) 實驗裝置

活性炭 및 박테리아 附着 活性炭을 채운 流動層 連續 實驗裝置가 使用되었으며 直徑 2.0cm, 總體積 60ml, 總高度 45cm로 유리 材質로製作되었다.(Figure 1)

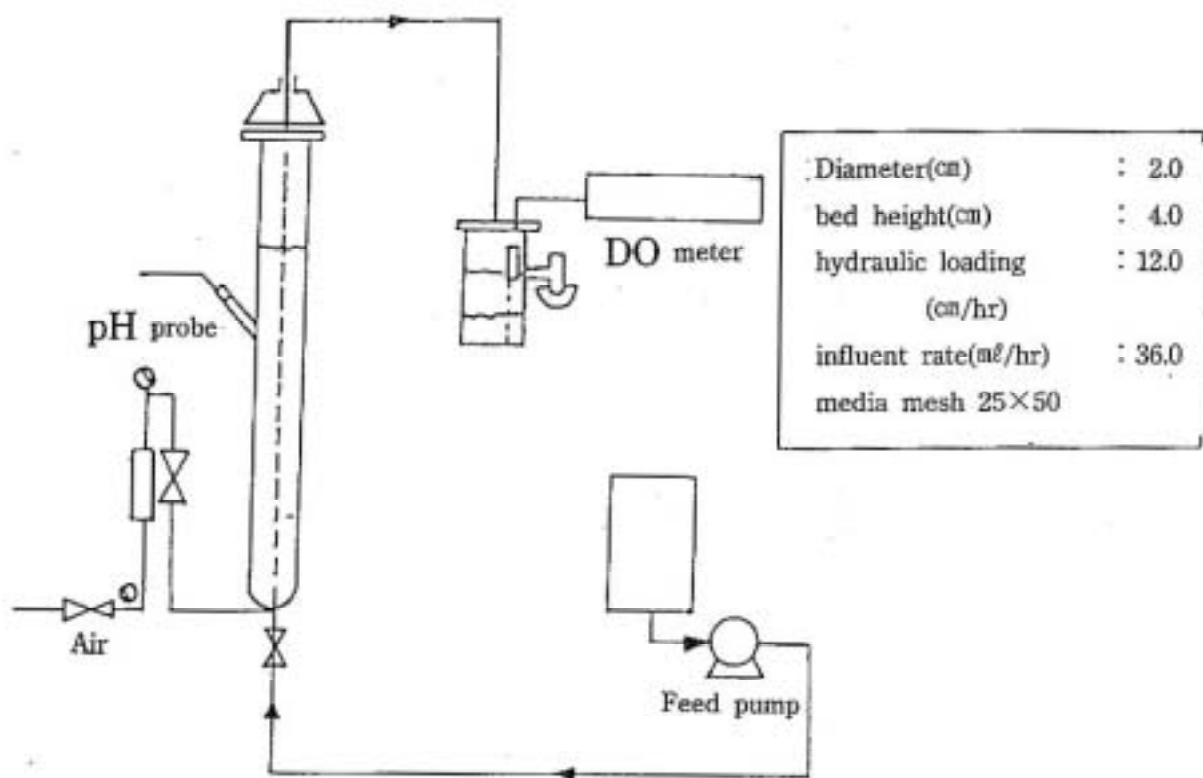


Figure 1. Schematic of the fluidized bed experimental system

(2) 運轉方法

腐蝕物 添加 試料(10mg/l)가 micro tube pump(TOKYO RIKAKIKA CO.)를 利用하여 상향으로 流入되었다. 또한 流出水의 溶存酸素濃度를 5mg/l 以上으로 離持하고 媒質層이 30% 정도 流動되도록 置換裝置를 利用하여 역시 상향류로 $3\ell/\text{min}$ 速度로 空氣를 連續的으로 注入시켰다. 이때 流量은 산출 平均 36ml/hr 로 流入시켰고 水理學的 부하量은 12.0cm/hr 이었으며 pH는 7.2 ± 0.4 水溫은 $24 \pm 0.1^\circ\text{C}$ 이었다. 모든 實驗裝置는 光合成 微生物(algae)의 增殖을 抑制시키기 为하여 aluminium-foil로 빛을 遮斷하였다.

라. 消毒實驗

消毒은 표정된 鹽素源額을 利用하여 상온($20 \pm 1^\circ\text{C}$)에서 非連續 反應槽을 利用하여 實施하였고 이때 残留鹽酸의濃度는 初期殘留鹽酸濃度가 0.5mg/l 가 되도록 調整하였다.

마. THMs 测定

試料의 THMs定量은 液液抽出法(Liquid/Liquid Extraction Method)으로 抽出하여 gas chromatography(Variian3700)를 利用하여 分析하였으며 THMs標準液(Supelco製品)과 試料의 gas chromatogram을 比較하여 試料中の THMs을 定量하였다. GC의 分析條件은 Table 2와 같다.

Table 2. Condition of gas chromatography

GC	Condition
column size	0.53mm×30m
column packing material	DB 624
injection temperature	220 °C
oven temperature	120 °C
final temperature	250 °C
carrier gas	N ₂ , 30ml/min
detector	ECD

바. 資料分析

(1) 吸着能效果

活性炭 吸着能效果는 Freundlich 등은 吸着式에 의거 非連續實驗으로 다음과 같이 算定하였다.

q : 活性炭 單位質量當 平衡 吸着量

$$q = KC^\beta$$

K : 常 數

C : 平衡狀態에서의 吸着質濃度

β : 吸着計數

(2) 吸着除去速度

流動層 連續實驗 裝置을 利用한 活性炭 吸着除去 速度는 다음식을 利用하여 算定하였다. (Holladay 等, 1978)

DR : 除去速度(g/day.ℓ)

$$DR = Q_L(C_i - C)/V_n^e$$

Q_L : 流入水量(ℓ/day)

C_i : 流入水濃度(mg/ℓ)

C : 流出水濃度(mg/ℓ)

V_n : 反應槽 體積(ℓ)

e : 公克률

III. 研究結果 및 考察

1. 淨水場 源水, 處理水 및 家庭水道水 中의 THMs 生成量

洛東江 德山淨水場 源水, 處理水 및 家庭水道水를 對象으로 10個月 동안 THMs生成量 把握한 結果는 Table 3과 같다.

Table 3. THMs concentration of treated and domestic tap water samples at Duk-San Water Plant in Pusan

1990. 6.~1991. 3. unit : $\mu\text{g}/\ell$

Month	CHCl_3	CHBrCl_2	CHBr_2Cl	CHBr_3
6	6.52 ± 0.63 (7.06 ± 0.70)	0.24 ± 0.05 (0.33 ± 0.04)	ND (ND)	ND (ND)
7	14.32 ± 1.43 (26.68 ± 2.42)	3.85 ± 0.76 (6.83 ± 0.07)	0.47 ± 9.08 (0.66 ± 0.77)	ND (ND)
8	6.73 ± 0.46 (12.27 ± 1.30)	0.73 ± 0.08 (1.57 ± 0.05)	ND (0.32 ± 0.02)	ND (ND)
9	11.56 ± 0.95 (13.42 ± 1.43)	2.29 ± 0.23 (2.59 ± 0.32)	2.06 ± 0.21 (2.16 ± 0.20)	ND (ND)
10	11.53 ± 0.87 (11.90 ± 1.91)	0.89 ± 0.10 (1.11 ± 0.09)	0.10 ± 0.03 (0.29 ± 0.03)	ND (ND)
11	9.36 ± 0.96 (9.30 ± 0.09)	0.24 ± 0.03 (0.32 ± 0.04)	ND (ND)	ND (ND)
12	7.50 ± 0.08 (8.61 ± 0.07)	1.01 ± 0.02 (1.01 ± 0.02)	ND (ND)	ND (ND)
1	7.89 ± 0.08 (8.44 ± 0.08)	0.48 ± 0.05 (0.59 ± 0.06)	ND (ND)	ND (ND)
2	6.33 ± 0.07 (5.61 ± 0.06)	0.30 ± 0.04 (0.22 ± 0.02)	ND (0.06 ± 0.01)	ND (ND)
3	6.43 ± 0.06 (8.44 ± 0.08)	0.38 ± 0.04 (1.20 ± 0.01)	ND (ND)	ND (ND)

ND : not detected

Treated water : Tap water : ()

淨水場源水의 THMs生成量은 調査期間동안 檢出되지 않았으며 淨水場處理水의 경우 月別 THMs生成量은 6.63(2月)~18.64(7月) $\mu\text{g}/\ell$ 의範圍였고 7月, 9月, 10月이 각各 산술平均 18.64 $\mu\text{g}/\ell$, 15.91 $\mu\text{g}/\ell$, 12.52 $\mu\text{g}/\ell$ 로 10 $\mu\text{g}/\ell$ 以上이었다. 10個月에 걸쳐 調査한 處理水의 全體 THMs生成量의 산술平均은 $10.12 \pm 4.21 \mu\text{g}/\ell$ 이었다.

또한 淨水場處理水의 季節別 THMs生成量을 보면 春季(3月)은 산술平均 6.81 $\mu\text{g}/\ell$ 이었고 여름철(6~8月), 가을철(9~11月) 및 겨울철(12~2月)은 각各 산술平均 10.96 $\mu\text{g}/\ell$, 12.68 $\mu\text{g}/\ell$ 및 7.84 $\mu\text{g}/\ell$ 이었다. 家庭水道水의 경우 THMs生成量은 7月이 산술平均 34.17 $\mu\text{g}/\ell$ 로 가장 높았고 8月, 9月 및 10月이 각各 산술平均 14.16 $\mu\text{g}/\ell$, 18.17 $\mu\text{g}/\ell$ 및 13.30 $\mu\text{g}/\ell$ 로 10 $\mu\text{g}/\ell$ 이상이었다. 10個月에 걸쳐 調査한 家庭水道水의 THMs生成量의 全體 산술平均은 $13.10 \pm 8.22 \mu\text{g}/\ell$ 이었다.

또한 家庭水道水의 季節別 THMs生成量을 보면 春季(3月)은 9.64 $\mu\text{g}/\ell$ 이었고 여름철(6~8월), 가을철(9~11月) 및 겨울철(12~2月)은 각各 산술平均 18.57 $\mu\text{g}/\ell$, 13.70 $\mu\text{g}/\ell$ 및 8.18 $\mu\text{g}/\ell$ 이었다.

2. 淨水場源水 및 腐蝕物添加試料水의 THMs生成

가. 淨水場源水의 THMs生成量

(1) 水溫變化에 따른 THMs生成量

水溫變化에 따라 鹽素處理한 淨水場源水의 接觸時間變化에 따른 THMs生成量은 Figure 2와 Table 4와 같다.

THMs生成量은 水溫이 높을수록 接觸時間이 길어질수록 增加하였다. THMs生成量은 鹽素가 注入된 後부터 18時間까지는 急速히 增加하였으나 그 以後부터는 緩慢히 增加하였고 48時間 以後에는 變化가 거의 없었다.

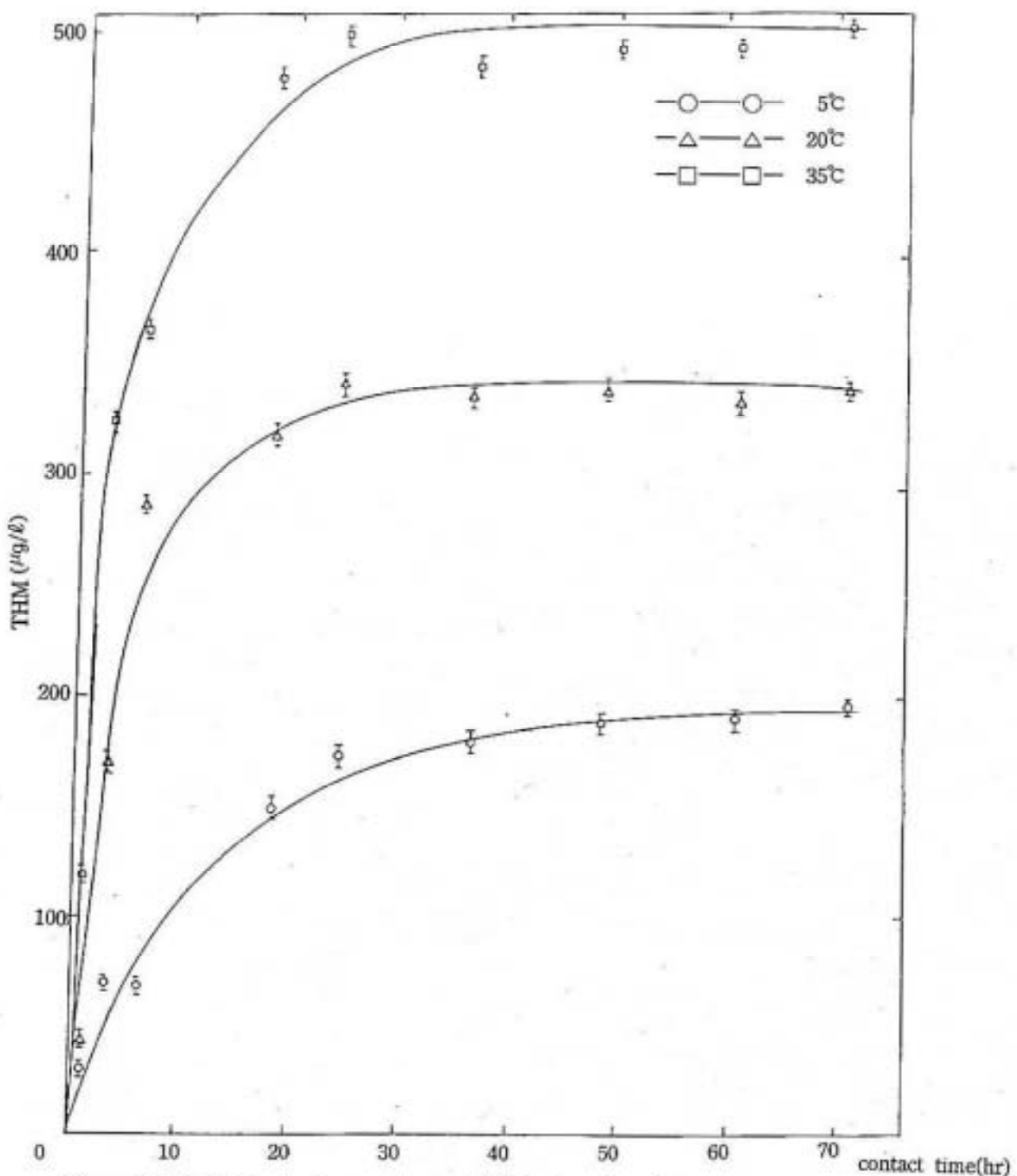


Figure 2. Effect of water temperature on THMs formation from raw water samples at Duk-San water plant in Pusan October, 1990

Table 4. THMs concentration by water temperature variations from raw water samples at duk-San water plant in Pusan

temp(°C)\time(hr)	October 1990 unit : µg/l								
	1	3	6	18	24	36	48	60	70
5	31.7 ± 2.32	70.3 ± 3.01	68.8 ± 2.88	150.4 ± 4.47	175.2 ± 3.24	180.9 ± 4.90	188.6 ± 4.76	190.6 ± 3.04	195.3 ± 3.45
20	46.1 ± 2.06	173.1 ± 3.78	290.1 ± 6.12	322.7 ± 4.67	346.4 ± 6.43	338.9 ± 3.33	338.5 ± 3.85	334.1 ± 3.43	338.4 ± 3.84
35	121.3 ± 2.31	328.5 ± 2.85	369.3 ± 3.96	488.7 ± 3.67	512.5 ± 2.78	494.0 ± 3.98	501.4 ± 4.61	500.7 ± 4.62	510.7 ± 4.11

Mean ± S.D.

Table 5. THMs Concentration by pH Variations from Raw Water Samples at Duk-San Water Plant in Pusan

pH\time(hr)	October 1990 unit : µg/l								
	1	3	6	18	24	36	48	60	70
5	33.0 ± 1.32	61.9 ± 1.43	80.3 ± 2.54	143.6 ± 2.87	198.1 ± 2.16	214.7 ± 2.67	226.7 ± 2.34	219.0 ± 3.78	224.0 ± 3.12
7	42.7 ± 1.90	140.0 ± 2.01	190.7 ± 2.12	263.5 ± 2.59	281.4 ± 2.12	304.8 ± 2.07	306.6 ± 3.00	300.5 ± 2.96	304.0 ± 2.09
9	68.4 ± 0.87	179.6 ± 2.68	210.4 ± 3.51	303.5 ± 4.70	320.7 ± 2.50	331.4 ± 3.53	330.8 ± 3.60	333.4 ± 2.09	328.5 ± 1.82

Mean ± S.D.

(2) pH變化에 따른 THMs生成量

pH變化에 따라 鹽素處理한淨水場源水의接觸時間變化에 따른THMs生成量은Figure 3과Table 5와 같다. THMs生成量은pH가높을수록接觸時間이길어질수록增加하였다. THMs生成量은鹽素가注入된後부터24時間까지는急速히增加하였으나그以後부터는緩慢히增加하였고48時間以後에는變化가거의없었다.

(3) 鹽素投入量變化에 따른 THMs生成量

鹽素投入量과接觸時間變化에 따른THMs生成量은Figure 4와Table 6과 같다. THMs生成量은鹽素投入濃度가높을수록接觸時間이길어질수록增加하였다. THMs生成量은鹽素가注入된後부터18時間까지는急速히增加하였으나그이후부터는緩慢히增加하였고48時間以後에는變化가거의없었다.

나. 腐蝕物添加試料中의 THMs生成量

淨水場源水 및處理水中의腐蝕物의濃度를豫測하기위하여鹽素處理한腐蝕質첨가試料水를利用하여接觸時間24時間에THMs의生成量을把握하였다.腐蝕物添加試料水의濃度變化에 따른THMs生成量은Table 7과 같다.腐蝕物添加濃度에 따른THMs生成量은1mg/l에서 $10.7\mu\text{g}/\ell$, 5mg/l에서는 $73.1\mu\text{g}/\ell$, 10mg/l에서는 $185\mu\text{g}/\ell$ 가生成되었다.

3. 活性炭吸着劑에 依한 THMs除去

가. 批連續實驗

活性炭吸着劑의平衡吸着等溫線을把握하기위해非連續實驗을實施하였다.接觸時間에 따른活性炭의單位g當腐蝕物COD(KMnO₄法)殘留濃度와COD除去率은Figure 5와Table 8과 같다.

活性炭의吸着除去率은10日接觸時間동안에5.4~31.5%範圍이었고산술平均 $20.7 \pm 11.5\%$ 이었다. 특히活性炭의吸着除去率은接觸時間10日以後부터거의變化하지않았고平衡狀態에到達하였다.活性炭의吸着計數 β 와常數K를算定한結果 $\beta=0.35$ 와 $K=0.095$ 이었다.(Figure 6)

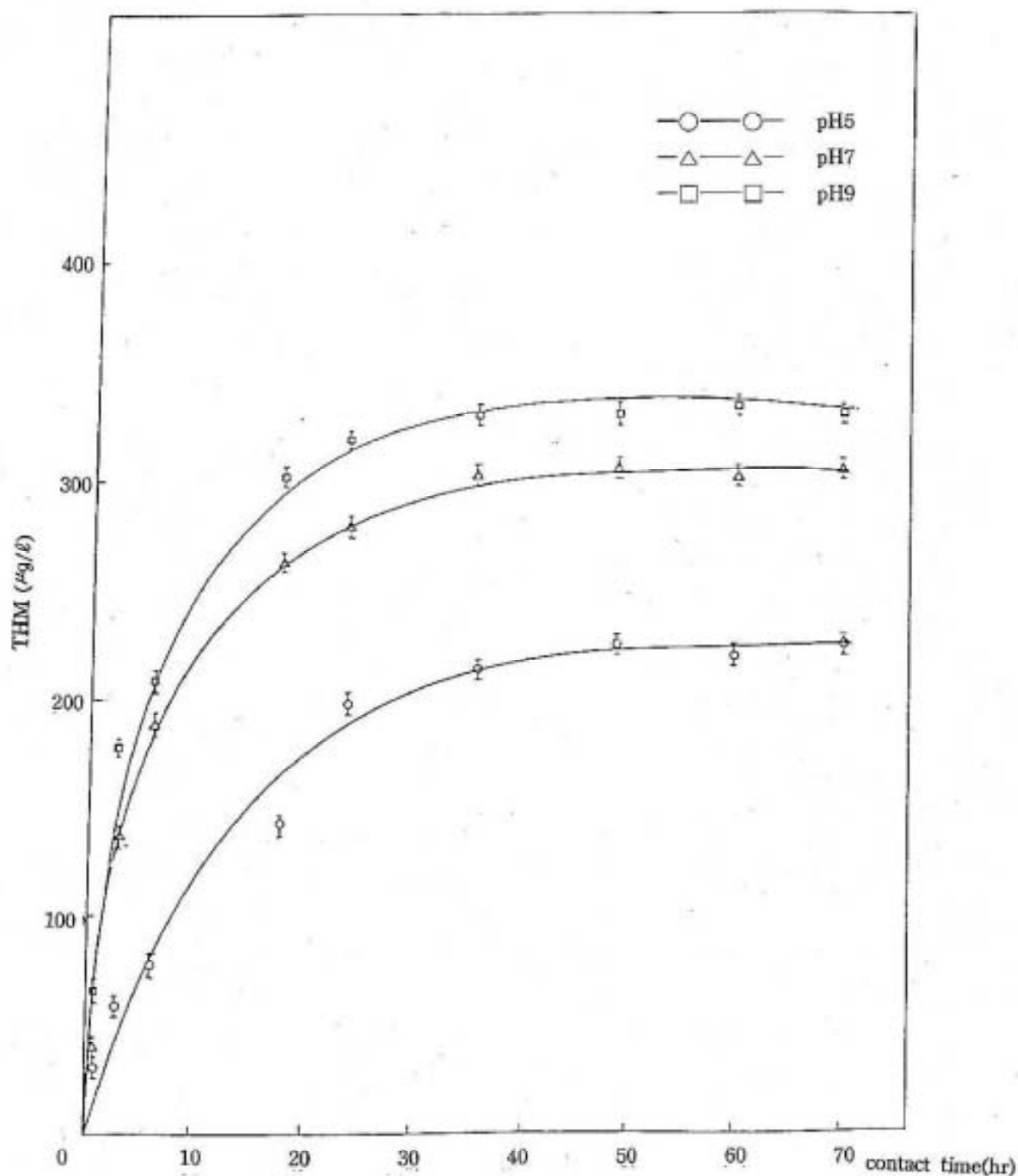


Figure 3. Effect of pH on THMs formation from raw water samples at Duk-San water plant in Pusan, October 1990

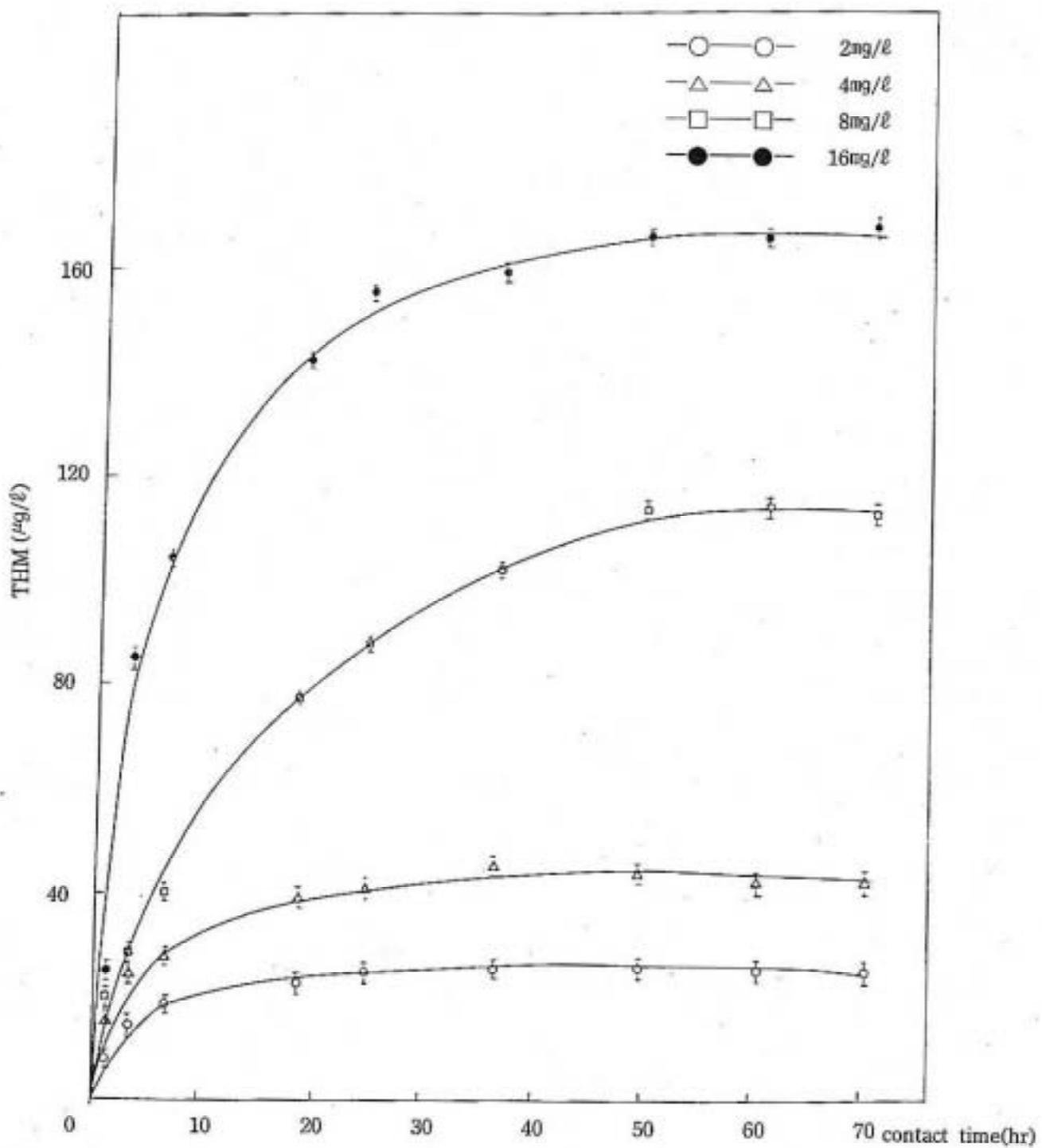


Figure 4. Effect of chlorine dose on THMs formation from raw water samples at Duk-San water plant in Pusan, October 1990

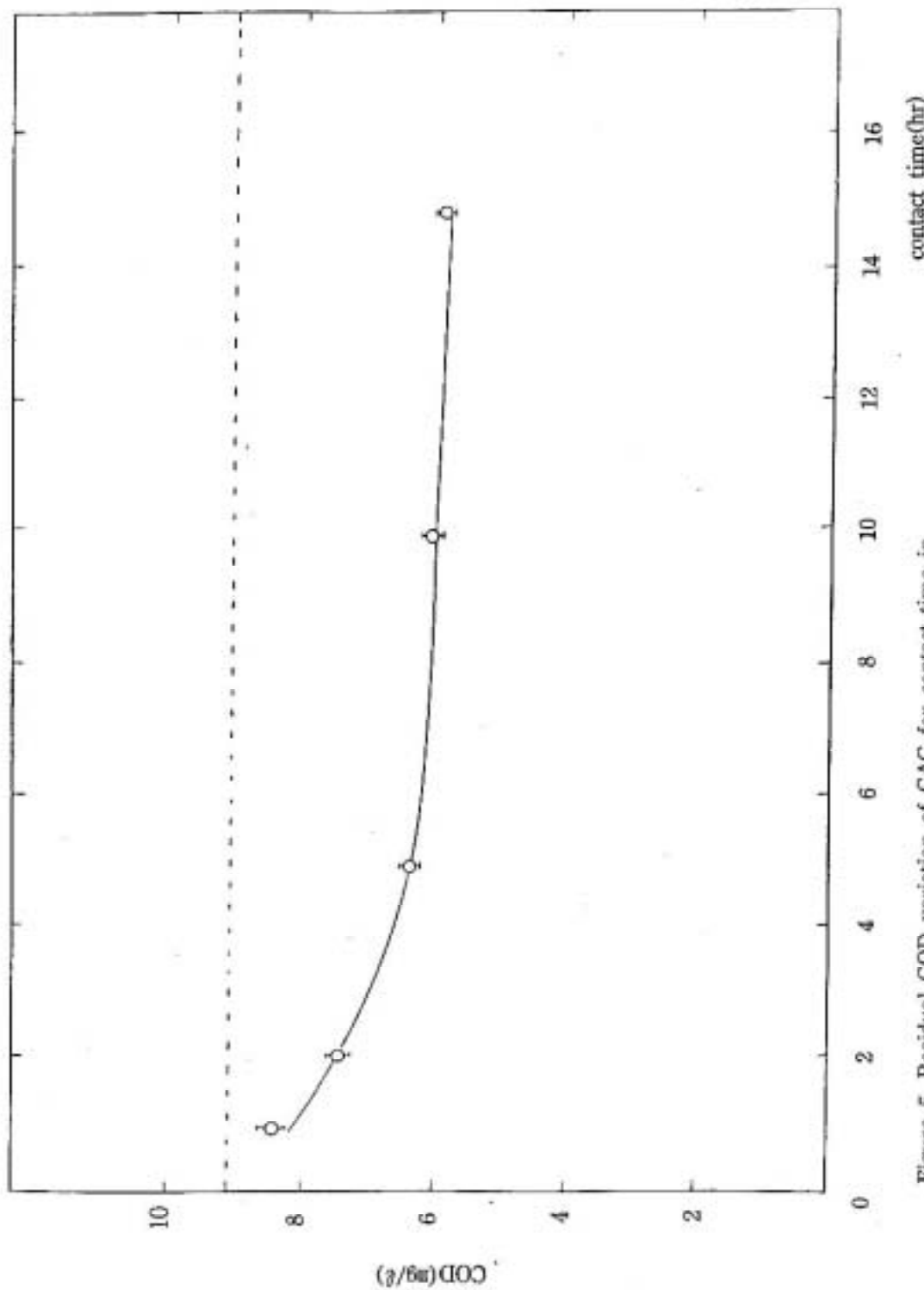


Figure 5. Residual COD variation of GAC for contact time in water added with humic acid

Table 6. THMs concentration by chlorine dose variations from raw water samples at Duk-San water plant in Pusan

dose \ time (mg/l) (day)	1	3	6	18	24	36	48	60	70	October 1990	unit : $\mu\text{g/l}$
2	9.6 ± 0.06	15.6 ± 0.51	19.9 ± 0.91	23.3 ± 0.32	24.7 ± 0.71	25.6 ± 0.67	25.0 ± 0.24	24.4 ± 0.20	23.8 ± 0.80		
4	16.4 ± 0.16	25.2 ± 0.56	28.3 ± 0.23	39.1 ± 0.18	41.7 ± 0.43	44.9 ± 0.40	43.2 ± 0.21	40.8 ± 0.06	41.4 ± 0.19		
8	21.5 ± 0.52	28.6 ± 0.28	39.7 ± 0.37	75.1 ± 0.17	85.6 ± 0.68	98.3 ± 0.09	109.9 ± 1.99	110.4 ± 1.97	108.0 ± 0.89		
16	24.5 ± 0.15	83.4 ± 1.35	100.8 ± 1.80	136.6 ± 2.61	149.1 ± 1.57	152.6 ± 2.57	159.4 ± 2.96	158.7 ± 2.59	161.3 ± 2.48		

Mean \pm S.D.

Table 7. THMs concentration on 24hr after added with humic acid disinfected with chlorine

dose(mg/l)	THMs	CHCl ₃	CHBrCl ₂	CHBr ₂ Cl	CHBr ₃	unit : $\mu\text{g/ml}$
1		10.6 \pm 1.2	0.1 \pm 0.0	ND	ND	
5		72.5 \pm 2.6	0.6 \pm 0.1	ND	ND	
10		184.1 \pm 12.5	1.3 \pm 0.2	ND	ND	

Mean S.D.

Table 8. Residual COD of GAC for contact time in water added with humic acid

contact time(day)	0	1	2	5	10	15
residual conc. (ppm COD/g carbon)	9.2 ± 0.4	8.7 ± 0.3	7.5 ± 0.2	6.7 ± 0.3	6.3 ± 0.2	6.2 ± 0.2
removal rate(%)	—	5.4	18.5	27.2	31.5	32.6

Mean \pm S.D.

나. 連續實驗

運轉期間에 따른 活性炭 吸着劑 流出水를 鹽素處理한 結果 THMs生成 變化는 Figure 7과 같다.

이때 運轉期間이 길어질수록 THMs의 生成量은 漸次로 增加하여 28日 以後에는 거의 $30\mu g/l$ 濃度의 平衡狀態에 到達하였다. 이때 活性炭 吸着劑의 THMs除去率은 산술平均的으로 約 $88.1 \pm 4.3\%$ 이었다.

4. 박테리아 附着 活性炭 吸着劑에 依한 THMs 除去

가. 非連續實驗

박테리아 附着 活性炭의 平衡 吸着 등온성을 把握하기 위하여 非連續 實驗을 實施하였다. 接觸時間에 따른 박테리아 附着 活性炭의 單位g當 腐蝕物의 吸着 除去率 變化는 Figure 8과 Table 9와 같다.

박테리아 附着 活性炭의 吸着除去率은 10日 接觸時間 동안에 25.0~62.0% 이었다. 특히 박테리아 吸着 活性炭의 除去率은 活性炭의 擊遇하는 달리 吸着 平衡狀態에 到達된 以後에도 吸着除去가 서서히 일어나고 있었다. 박테리아 吸着 活性炭의 吸着計數 β 와 常數K를 算定한結果 $\beta=0.32$ 와 $=-0.18$ 이었다.(Figure 9)

나. 連續實驗

運轉期間에 따른 박테리아 附着 活性炭 吸着劑 流出水를 鹽素處理한 結果 THMs 生成 變化는 Figure 10과 같다.

이때 運轉期間이 길어질수록 THMs의 生成量은 漸次로 증가하여 28日 以後에는 거의 $28\mu g/l$ 濃度의 平衡 狀態에 到達하였다. 이때 박테리아 附着 活性炭의 THMs 除去率은 平均的으로 約 $91.1 \pm 2.9\%$ 이었다.

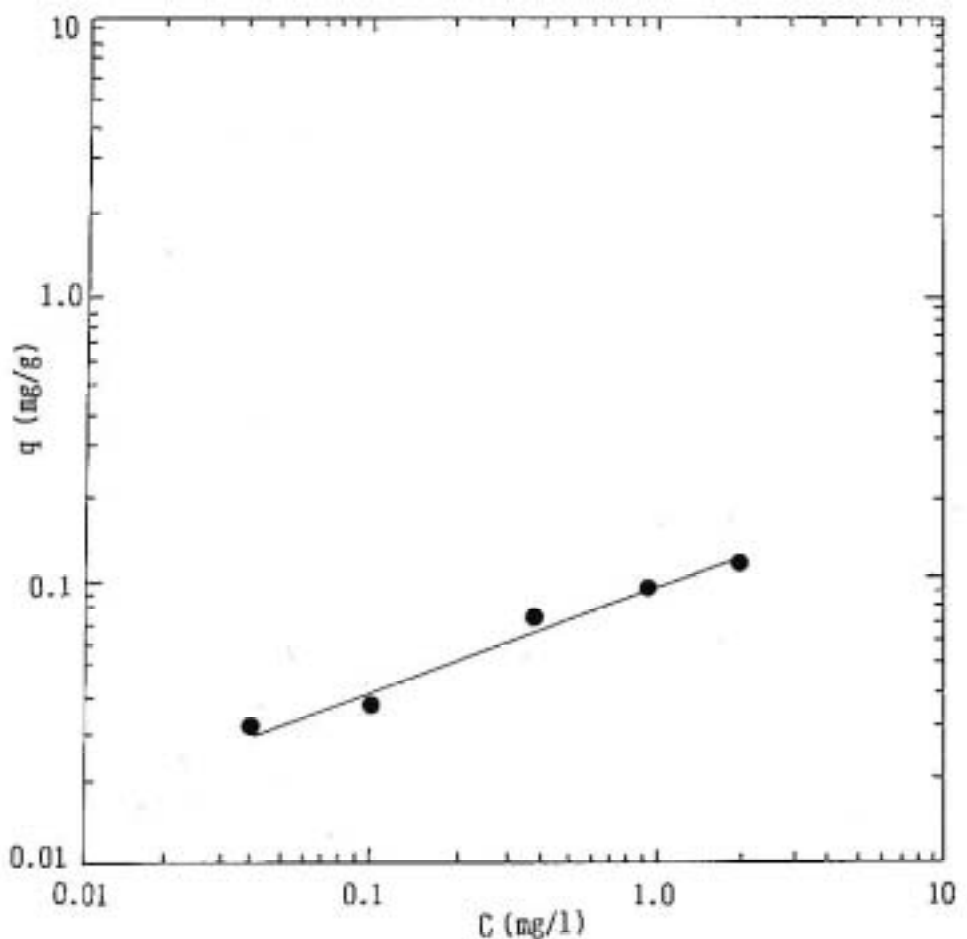


Figure 6. Adsorption isotherms of GAC for water added with humic acid

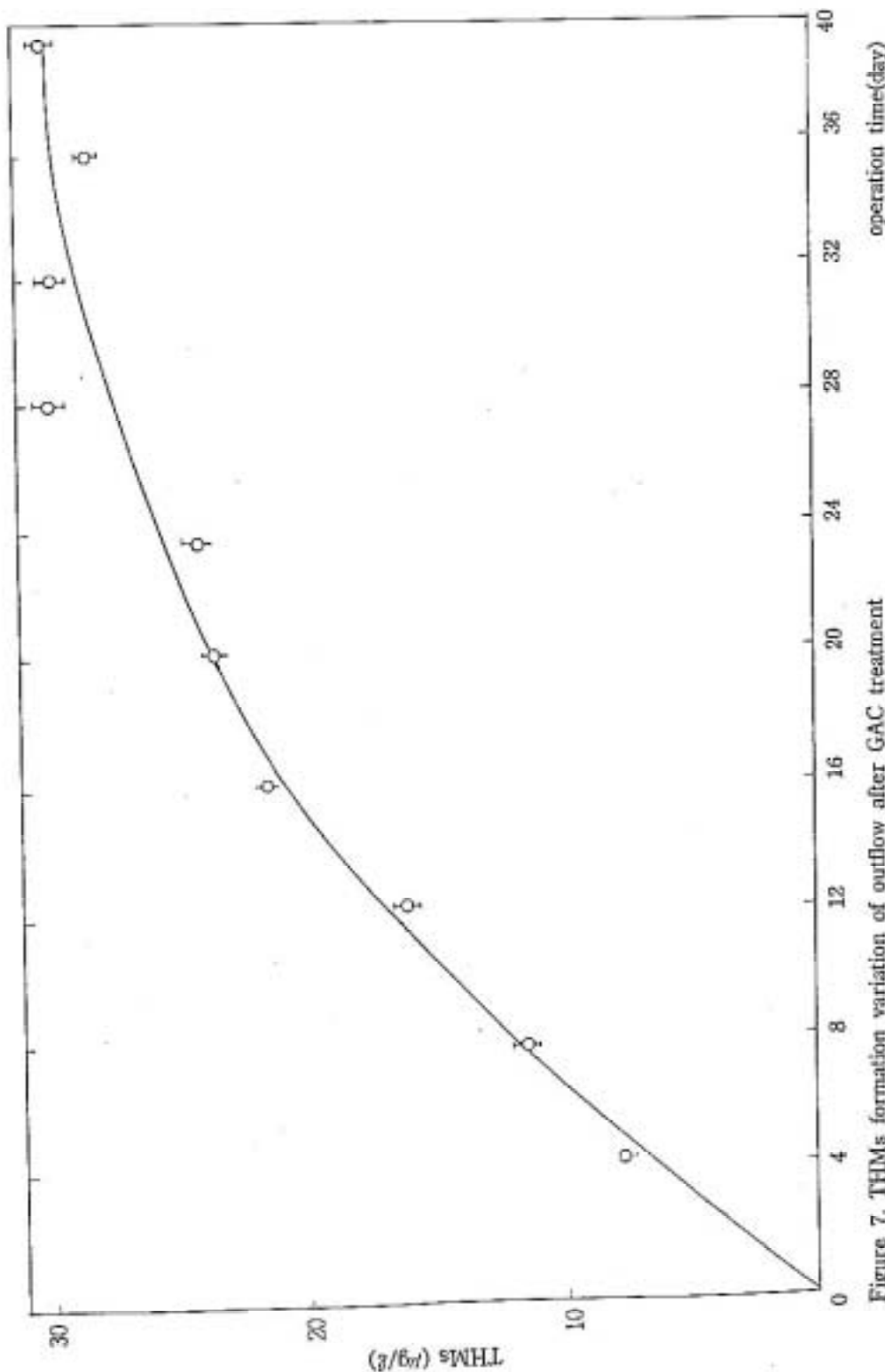


Figure 7. THMs formation variation of outflow after GAC treatment by fluidized bed system

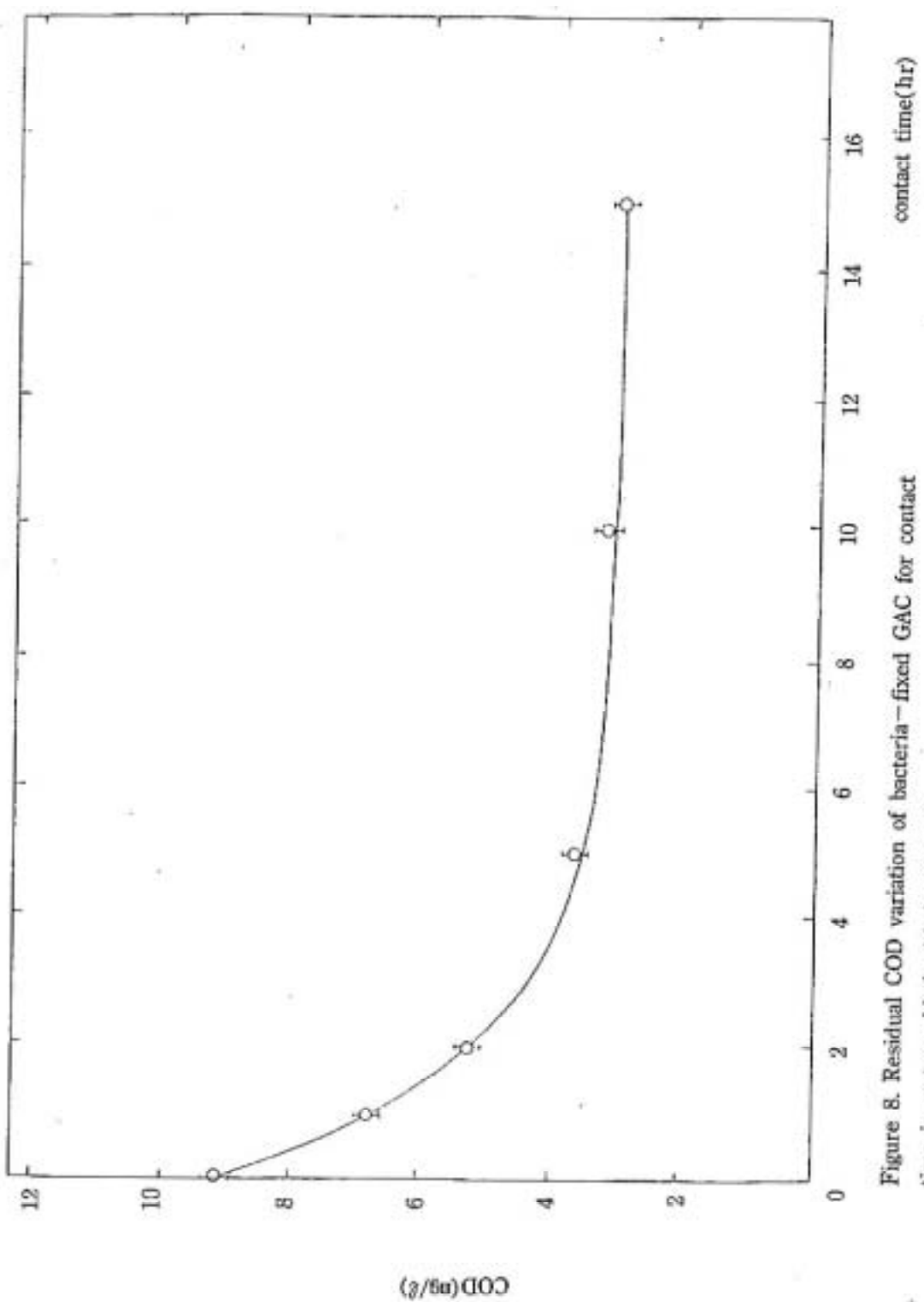


Figure 8. Residual COD variation of bacteria-fixed GAC for contact time in water added with humic acid

Table 9. Residual COD of bacteria-fixed GAC for contact time in water added with humic acid

contact time(day)	0	1	2	5	10	15
residual conc.	9.2	6.9	5.2	3.8	3.5	3.3
(ppm COD/g carbon)	± 0.4	± 0.3	± 0.3	± 0.2	± 0.2	± 0.3
removal rate(%)	—	25.0	43.5	58.7	62.0	64.1

Mean \pm S.D.

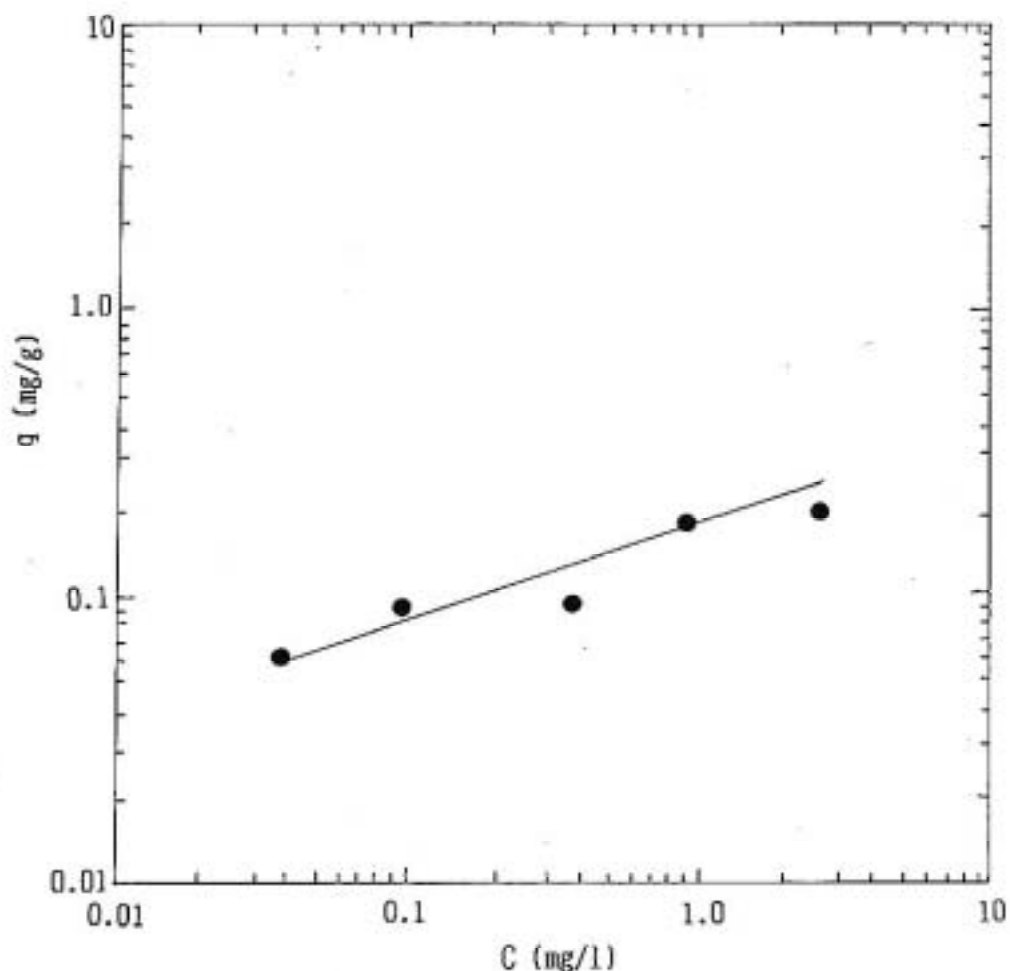


Figure 9. Adsorption isotherms of bacteria-fixed GAC for water added with humic acid

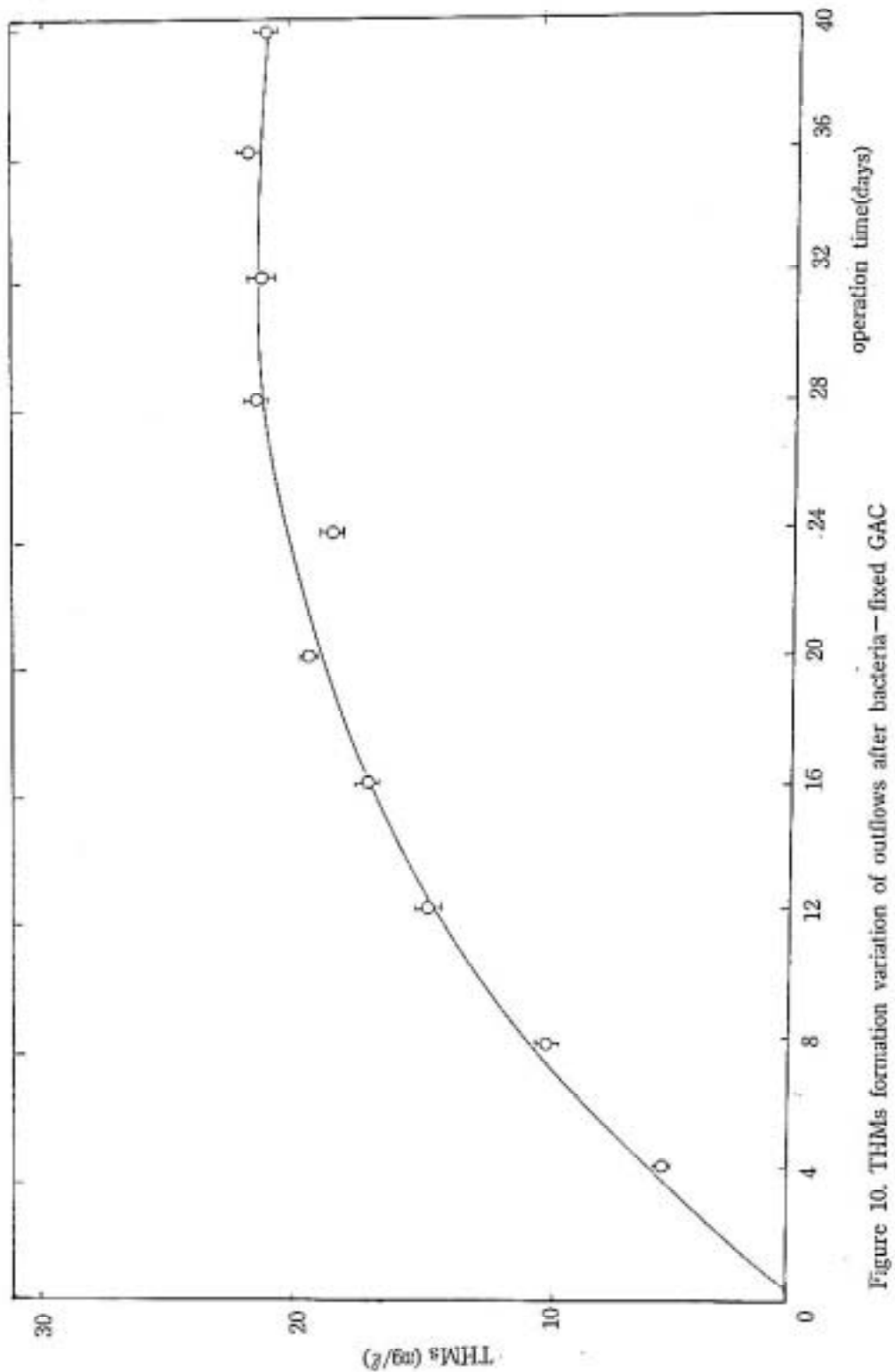


Figure 10. THMs formation variation of outflows after bacteria-fixed GAC treatment by fluidized bed system

IV. 結 論

飲用水의 臨素消毒에 따른 Trihalomethanes(THMs)의 生成 및 吸着에 關하여 把握하고자 釜山 市民에게 飲用水를 供給하는 洛東江 德山淨水場의 源水, 處理水 및 家庭 水道水 그리고 腐蝕物 添加 試料를 對象으로 THMs 生成을 調査하고 流動層 連續 實驗裝置를 利用하여 THMs의 吸着除去率을 活性炭과 박테리아 附着 活性炭에 對하여 測定하였으며 研究結果는 다음과 같다.

1. 釜山市 德山淨水場 源水, 處理水 및 家庭水道水의 THMs 生成量은 全體 산술 平均的으로 源水는 檢出되지 않았고, 處理水는 $10.12\mu\text{g}/\ell$, 家庭 水道水는 $13.10\mu\text{g}/\ell$ 이었다.
2. 德山淨水場 源水의 水溫, pH, 鹽酸投與量 變化에 따른 THMs 生成量은 水溫, pH, 鹽素 投與量이 높을수록, 接觸時間이 길어질수록 增加하였다.
3. 月別에 따른 德山淨水場 處理水와 家庭水道水의 THMs 生成을 家庭水道水를 Y($\mu\text{g}/\ell$) 處理水를 X($\mu\text{g}/\ell$)로 하여 直線 회귀分析를 한 結果 $Y = 1.74x - 4.50(r = 0.88)$ 이었다.
4. 活性炭 및 박테리아 附着 活性炭의 吸着計數 β 는 각각 0.35와 0.32, 常數 K는 0.095와 0.18 이었다.
5. 活性炭 및 박테리아 附着 活性炭의 THMs 除去率은 산술 平均的으로 각각 $88.1 \pm 4.3\%$ 및 $91.1 \pm 2.9\%$ 이었다.

參 考 文 獻

1. 보건사회부, 음용수관리법무편집, 보건사회부 위생국 음용수관리과편(1991).
2. 보건사회부, 통계연보, 보건사회부편(1991).
3. 육치상 등, 염소 및 이산화염소에 의한 상수의 소독처리(1989).
4. 정용 등, 상수중 Trihalomethane 제거에 관한 연구(1982).
5. 정용 등, 상수오염에 따른 Trihalomethane 생성능에 관한 연구(1987).
6. 환경처, 환경오염 공정시험법, 환경처편(1990).
7. 조광명, 상수의 살균과 Trihalomethane의 제거(1979).
8. Josephson, D., "Humic Substances," Environ. Sci. Technol., Vol.16, NO.1(1982).
9. Trussell, R. R., Umphres, M. D. "An Overview of the Analysis of Trace Organics in Water," Jorunal AWWA, Vol.70, 595—607(1978).
10. White, G. C., Handbook of Chlorination, Van Nostrand Reinhold Co. (1989).